

ЭЛЕКТРОМАГНИТНЫЕ ВЗАИМОДЕЙСТВИЯ

УДК 539.11

ИЗУЧЕНИЕ ПРОЦЕССА  $e^+e^- \rightarrow \pi^+\pi^-\pi^0\pi^0$   
 В ОБЛАСТИ ЭНЕРГИИ  $1 < \sqrt{s} < 2$  ГэВ С ДЕТЕКТОРОМ СНД

© 2013 г. М. Н. Ачасов\*,\*\*, К. И. Белобородов\*,\*\*, А. В. Бердюгин\*, А. Г. Богданчиков\*,  
 А. А. Ботов\*, А. В. Васильев\*,\*\*, В. Б. Голубев\*,\*\*, Т. В. Димова\*,\*\*, В. П. Дружинин\*,\*\*,  
 Д. П. Коврижин\*, И. А. Кооп\*,\*\*, А. А. Король\*,\*\*, С. В. Кошуба\*, А. Е. Образовский\*,\*\*,  
 Е. В. Пахтусова\*, С. И. Середняков\*,\*\*, З. К. Силагадзе\*,\*\*, А. Г. Харламов\*,\*\*,<sup>1</sup>,  
 Ю. М. Шатунов\*, Л. В. Кардапольцев\*,\*\*, А. С. Купич\*,\*\*, К. А. Мартин\*, К. А. Гревцов\*,\*\*,  
 И. К. Сурин\*, К. Ю. Сквепень\*, Д. А. Штоль\*, А. Н. Скринский\*, Ю. А. Тихонов\*,\*\*,  
 Ю. В. Усов\*, А. Ю. Барняков\*, Д. Е. Беркаев\*,\*\*, Д. Б. Шварц\*,  
 Ю. А. Роговский\*,\*\*, А. С. Касаев\*, А. Н. Кирпотин\*

\*Институт Ядерной Физики им. Г.И. Будкера, Новосибирск

\*\*Новосибирский Государственный Университет, Новосибирск

<sup>1</sup>e-mail: A.G.Kharlamov@inp.nsk.su

Поступила в редакцию 30.05.2013 г.

В эксперименте с детектором СНД на  $e^+e^-$  коллайдере ВЭПП-2000 измерено сечение процесса  $e^+e^- \rightarrow \pi^+\pi^-\pi^0\pi^0$ , в интервале энергии  $\sqrt{s} = 1000\text{--}2000$  МэВ. Статистическая точность измерения составила 1–2%, систематическая неопределенность – менее 10%. В области энергии  $\sqrt{s} = 1400\text{--}2000$  МэВ сечение измерено впервые. При исследовании структуры конечного состояния выделен процесс  $e^+e^- \rightarrow \omega\pi^0 \rightarrow \pi^+\pi^-\pi^0\pi^0$ .

Ключевые слова: ВЭПП-2000, СНД, векторные мезоны.

DOI: 10.1134/S2079562913090017

1. ВВЕДЕНИЕ

Сечение процесса  $e^+e^- \rightarrow \pi^+\pi^-\pi^0\pi^0$  в области энергии  $1 < \sqrt{s} < 2$  ГэВ определяется переходом векторных мезонов  $V(\rho, \rho', \rho'')$  в состояние  $\pi^+\pi^-\pi^0\pi^0$ . Основными промежуточными механизмами являются  $\omega\pi^0$  и  $a_1\pi, \rho\rho, f_0\rho$ : Соответствующие этим процессам диаграммы изображены на рис. 1.

В данной области энергии сечение  $e^+e^- \rightarrow \pi^+\pi^-\pi^0\pi^0$  доминирует в полном сечении  $e^+e^-$  аннигиляции в адроны и вносит значительный вклад в поляризацию вакуума адронами [1].

Сечение процессов  $e^+e^- \rightarrow \pi^+\pi^-\pi^0\pi^0, e^+e^- \rightarrow \pi^+\pi^-\pi^+\pi^-$  в диапазоне энергий 0.98–1.38 ГэВ измерено с точностью ~8% в работе [2].

2. ЭКСПЕРИМЕНТ

Детектор СНД [3] работает с 2009 года на коллайдере ВЭПП-2000 [4] в энергетическом диапазоне 360–2000 МэВ. Детектор включает в себя несколько подсистем. Трековая система представляет собой дрейфовую камеру с ячейкой струйного типа. Трехслойный электромагнитный калориметр на основе кристаллов NaI(Tl). В состав мюонной систе-

мы входят сцинтилляционные счетчики и 2 слоя стримерных трубок. Энергетическое и пространственное разрешения калориметра зависят от энергии фотонов следующим образом:  $\sigma_E/E(\%) = 4.2\%/ \sqrt[4]{4E(\text{ГэВ})}$  и  $\sigma_{\phi,0} = 0.82^\circ/\sqrt{E(\text{ГэВ})} \oplus 0.63^\circ$ . Разрешение трековой системы составляет  $0.5^\circ$  и  $2^\circ$  для азимутального и полярного углов соответственно.

В данном анализе использовалась статистика двух экспериментов: Mhad10 и Mhad11, набранная в 2010–2011 годах. Интегральная светимость в эксперименте Mhad10 составила  $5 \text{ пб}^{-1}$ , в эксперименте Mhad11– $25 \text{ пб}^{-1}$ . Интегральная светимость измерялась двумя независимыми способами: по событиям электрон-позитронного рассеяния и аннигиляции в два фотона. Систематическая неопределенность светимости оценивалась по разности этих двух измерений и составила ~2%.

Эксперименты проводились методом сканирования энергетического диапазона.

3. ОТБОР СОБЫТИЙ

Во время эксперимента первичный триггер выбирал события с энерговыделением в калори-

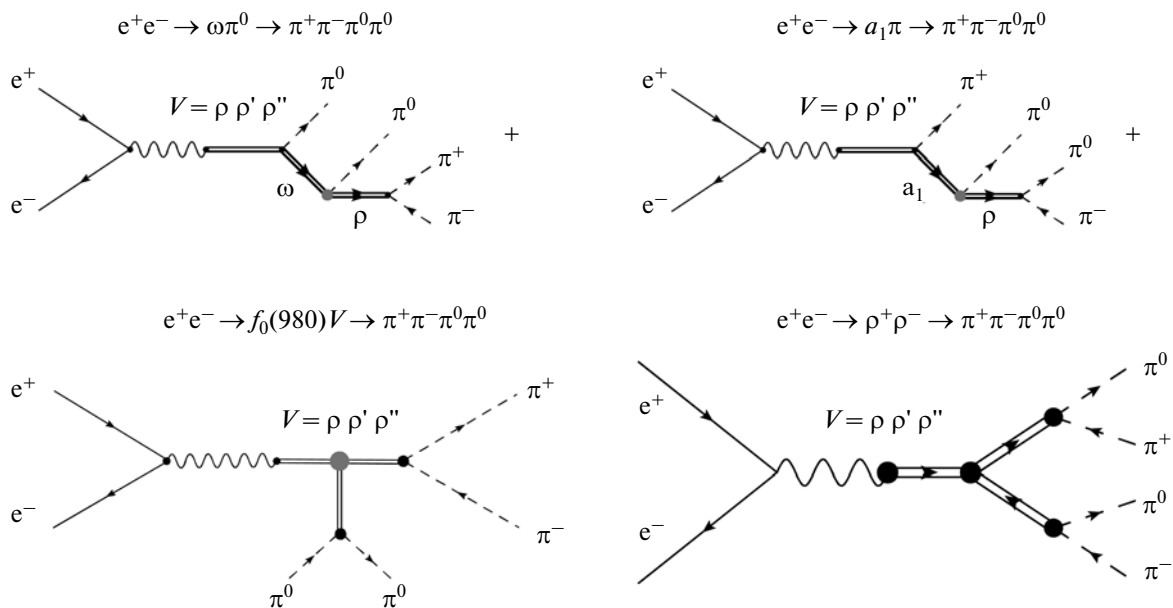


Рис. 1. Диаграммы для процесса  $e^+e^- \rightarrow \pi^+\pi^-\pi^0\pi^0$ .

метре более 100 МэВ и одним и более треками в дрейфовой камере. При реконструкции на записанные события накладывались условия так называемого “вычисленного триггера”, которые являются немного более “жесткими”, чем экспериментальные условия отбора триггера. Такая процедура позволяет избежать неопределенностей, связанных с работой электроники. При определении эффективности регистрации на события моделирования также накладываются условия “вычисленного триггера”.

Для анализа отбирались события удовлетворяющие следующим условиям:

2 или более заряженных трека;

4 или более реконструированных фотона;

расстояние от оси пучков до любого из треков в  $R$ - $\phi$  плоскости  $\rho < 1$  см;

$|Z| < 10$  см, где  $Z$  – координата пересечения трека с осью пучков.

Условие на координату  $Z$  определяются размером места встречи. Условие на расстояние  $\rho$  определяется разрешением дрейфовой камеры. Оба условия служат для подавления событий пучкового фона и космических мюонов. Продольный раз-

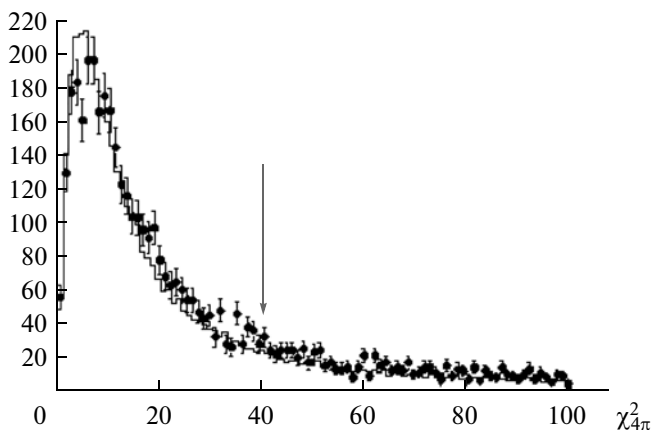


Рис. 2. Распределение по параметру  $\chi^2_{4\pi}$  для событий моделирования (гистограмма) и экспериментальных данных (точки) энергия  $2E = 1500$  МэВ, отобрано 8334 события. Стрелкой показано условие отбора.

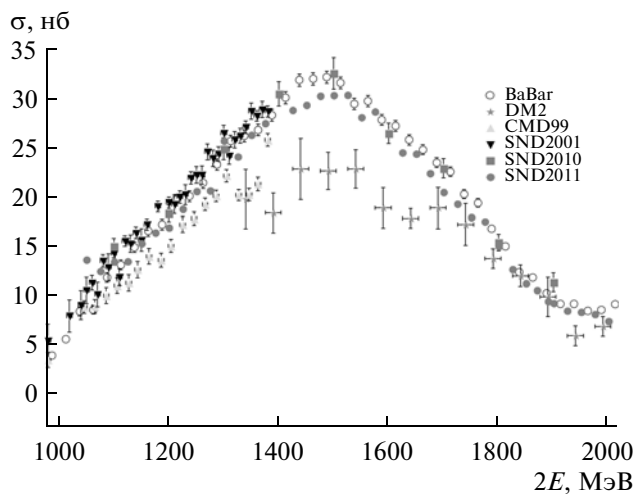
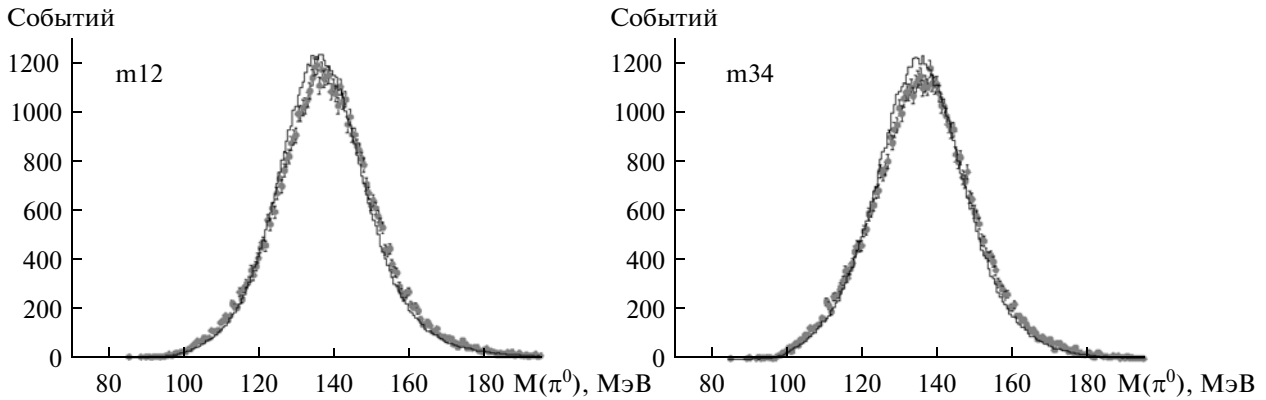


Рис. 3. Измеренное сечение реакции  $e^+e^- \rightarrow \pi^+\pi^-\pi^0\pi^0$  в сравнении с результатами других экспериментов.



**Рис. 4.** Распределение по массе  $\pi^0$ -мезонов после реконструкции в модели  $\pi^+\pi^-\pi^0\pi^0$ . Точки с ошибками – экспериментальное распределение, гистограмма – моделирование.

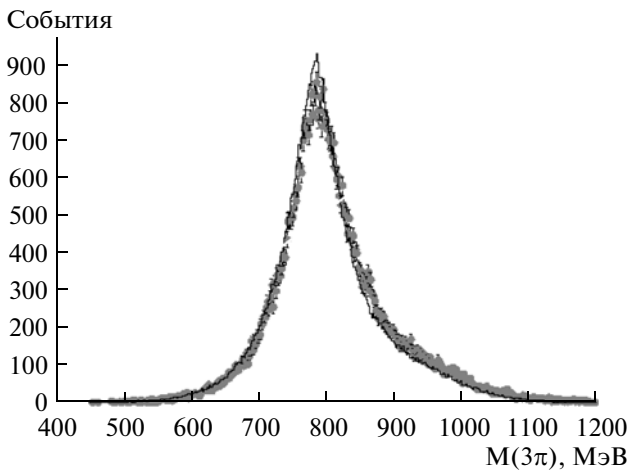
мер места встречи зависит от энергии пучков и менялся в эксперименте от 2 до 2.5 см.

Для отобранных в указанных условиях событий проводилась процедура кинематической реконструкции в гипотезах:

$$e^+e^- \rightarrow \pi^+\pi^-\pi^0\pi^0,$$

$$e^+e^- \rightarrow \pi^+\pi^-4\gamma.$$

Для формирования  $\pi^0$ -мезонов перебирались все возможные комбинации фотонов в событии, и выбиралась комбинация с минимальным значением  $\chi^2$ -реконструкции. Такая процедура позволяет отбросить “ложные” фотоны, образующиеся за счет ядерного взаимодействия  $\pi$ -мезонов с веществом или за счет пучкового фона. Инвариантная масса  $\pi^0$ -мезонов показана на рис. 4.

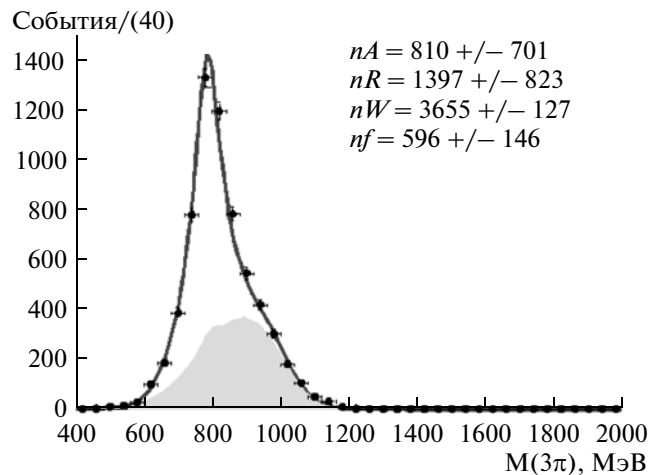


**Рис. 5.** Распределение по параметру  $M_{3\pi}$  – масса системы 3-х  $\pi$ -мезонов в реконструкции  $\pi^+\pi^-\pi^0\pi^0$  наиболее близкая к массе  $\omega$ -мезона. Точки с ошибками – экспериментальные данные, гистограмма – моделирование.

Далее накладывалось дополнительное условие отбора на  $\chi^2$ -реконструкции:  $\chi^2_{4\pi} < 40$ . Данное условие отбора выработано по моделированию (см. рис. 2). Всего отобрано 152920 событий.

#### 4. СЕЧЕНИЕ ПРОЦЕССА И РАЗДЕЛЕНИЕ ЕГО МЕХАНИЗМОВ

Эффективность регистрации определялась методом Монте-Карло и слабо зависит от энергии. Среднее значение эффективности регистрации во всем диапазоне энергии для промежуточного состояния  $a_1\pi$  равно  $33.5 \pm 0.4 \%$ , а для промежуточного состояния  $\omega\pi^0$  –  $32.5 \pm 1.4$ . Разница в эф-



**Рис. 6.** Распределение по параметру  $M_{3\pi}$  – масса системы 3-х  $\pi$ -мезонов в реконструкции  $\pi^+\pi^-\pi^0\pi^0$  наиболее близкая к массе  $\omega$ -мезона. Точки с ошибками – экспериментальные данные, заштрихованная гистограмма – сумма событий моделирования процессов не- $\omega\pi^0$ , линия – аппроксимирующая кривая. Энергия в с.ц.м. 1400 МэВ.  $nW$  – число событий сигнала механизма  $\omega\pi^0$ ,  $nR$  – число событий механизма  $\rho\rho$ ,  $nf$  – число событий механизма  $f_0\rho$ ,  $nA$  – число событий механизма  $a_1\pi$ .

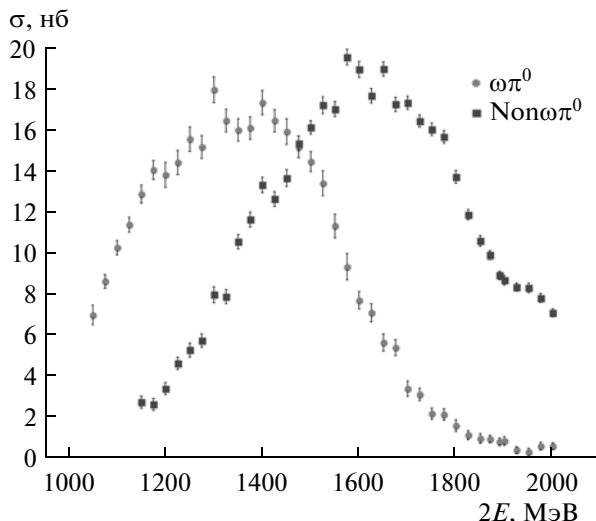


Рис. 7. Измеренное сечение реакции  $e^+e^- \rightarrow \omega\pi^0 \rightarrow \pi^+\pi^-\pi^0\pi^0$  и  $e^+e^- \rightarrow \text{не-}\omega\pi^0 \rightarrow \pi^+\pi^-\pi^0\pi^0$ .

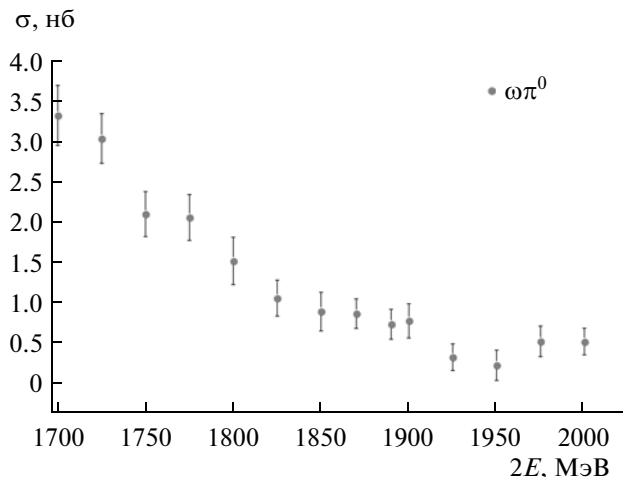


Рис. 8. Измеренное сечение реакции  $e^+e^- \rightarrow \omega\pi^0 \rightarrow \pi^+\pi^-\pi^0\pi^0$  в области порога рождения барион-антибарионных пар.

фективности регистрации для различных механизмов реакции  $\pi^+\pi^-\pi^0\pi^0$ , объясняется различными угловыми распределениями для различных промежуточных состояний.

Сечение процесса  $e^+e^- \rightarrow \pi^+\pi^-\pi^0\pi^0$  в каждой точке по энергии определялось по формуле:

$$\sigma(E) = \frac{N_{4\pi}(E)}{IL(E)\epsilon(E)(1 + \delta(E))}, \quad (1)$$

где  $N_{4\pi}$  — число зарегистрированных событий искомого процесса,  $IL(E)$  — интегральная светимость в данной точке по энергии,  $\epsilon$  — эффективность регистрации,  $\delta$  — радиационная поправка. Измеренное сечение изображено на рисунке 3.

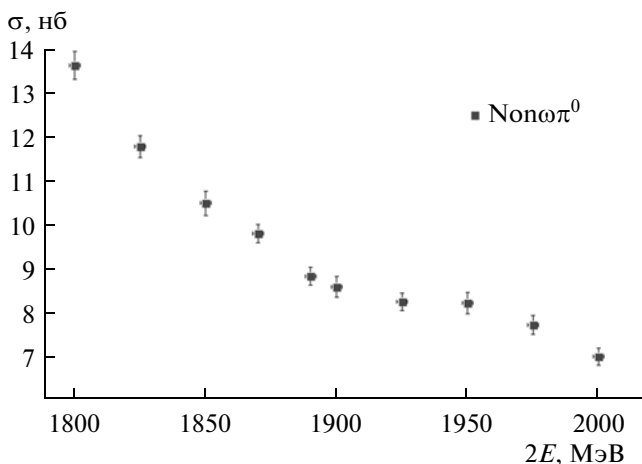


Рис. 9. Измеренное сечение реакции  $e^+e^- \rightarrow \text{не-}\omega\pi^0 \rightarrow \pi^+\pi^-\pi^0\pi^0$  в области порога рождения барион-антибарионных пар.

Радиационная поправка вычислялась методом Монте-Карло и плавно менялась с энергией от  $-0.12$  при  $1000$  МэВ до  $0.14$  при  $2000$  МэВ.

Для разделения промежуточных механизмов реакции использовалось распределение по инвариантной массе системы  $\pi^+\pi^-\pi^0$ , при этом выбиралась комбинация, наиболее близкая по массе к  $\omega$ -мезону. В области энергии ниже  $1400$  МэВ распределение по данному параметру хорошо описывается моделированием (рис. 5), в данной области доминирует промежуточный механизм  $\omega\pi^0$ . Распределение по данному параметру для каждого из механизмов реакции фиксировалось из моделирования с помощью техники ядерных оценок [5]. Для выделения промежуточного механизма  $\omega\pi^0$  производилась аппроксимация распределения по инвариантной массе системы  $\pi^+\pi^-\pi^0$  четырьмя распределениями с фиксированной формой (рис. 6). Всего было 4 свободных параметра. Сечения рождения  $\omega\pi^0$ , полученное таким способом и сечение рождения системы  $\pi^+\pi^-\pi^0\pi^0$  за вычетом сечения  $\omega\pi^0$  изображены на рис. 7. В области энергии  $1900$ – $2000$  МэВ наблюдается изменение поведения сечения с энергией для промежуточных состояний  $\omega\pi^0$  и не- $\omega\pi^0$  см. рис. 8, 9.

## 5. ЗАКЛЮЧЕНИЕ

В эксперименте с детектором СНД на коллайдере ВЭПП-2000 измерено сечение процесса  $e^+e^- \rightarrow \pi^+\pi^-\pi^0\pi^0$  в интервале энергии  $\sqrt{s} = 1000$ – $2000$  МэВ. Сечение согласуется с предыдущими измерениями и имеет наилучшую сегодня точность, статистическая неопределенность составляет  $1$ – $2\%$ , систематическая неопределен-

ность не превышает 10%. В области  $\sqrt{s} > 1400$  МэВ данное сечение измерено впервые. Произведено разделение промежуточных механизмов реакции  $e^+e^- \rightarrow \pi^+\pi^-\pi^0\pi^0$ , выделен механизм промежуточного состояния  $\omega\pi^0$ .

Работа частично поддержана грантами Президента РФ МК-4345.2012.2 и НШ-5320.2012.2, грантами РФФИ 11-02-00276-а, 12-02-00065-а, 12-02-01250-а, 13-02-00418-а, 13-02-00375, 12-02-31515 мол\_а, 12-02-31692 мол\_а, 12-02-31488 мол\_а. Работа выполнена при финансовой поддержке Минобрнауки России, грант № 14.518.11.7003.

## СПИСОК ЛИТЕРАТУРЫ

1. *Davier M., Descotes-Genon S. et al.* Eur. Phys. J. C 2008. V. 56. P. 305–322.
2. *Achasov M.N. et al.* J. Exp. Theor. Phys. 2003. V. 96. P. 789.
3. *Achasov M.N. et al.* Nucl. Instrum. Meth. Phys. Res. A 2000. V. 449. P. 125 (11 July 2000).
4. *Skrinsky A.N.* In Proc. Workshop on Physics and Detectors for DAΦNE. Frascati, Italy. 1995. P. 3.
5. *Cranmer K.S.* Comp. Phys. Comn. 2001. V. 136. P. 198.

### Study of the $e^+e^- \rightarrow \pi^+\pi^-\pi^0\pi^0$ Process in the Energy Range $1 < \sqrt{s} < 2$ GeV with the SND Detector

M. N. Achasov<sup>a, b</sup>, K. I. Beloborodov<sup>a, b</sup>, A. V. Berdyugin<sup>a</sup>, A. G. Bogdanchikov<sup>a</sup>,  
 A. A. Botov<sup>a</sup>, A. V. Vasil'ev<sup>a, b</sup>, V. B. Golubev<sup>a, b</sup>, T. V. Dimova<sup>a, b</sup>, V. P. Druzhinin<sup>a, b</sup>,  
 D. P. Kovrizhin<sup>a</sup>, I. A. Koop<sup>a, b</sup>, A. A. Korol'<sup>a, b</sup>, S. V. Koshuba<sup>a</sup>, A. E. Obrazovskii<sup>a, b</sup>,  
 E. V. Pakhtusova<sup>a</sup>, S. I. Serednyakov<sup>a, b</sup>, Z. K. Silagadze<sup>a, b</sup>, A. G. Kharlamov<sup>a, b, \*</sup>,  
 Yu. M. Shatunov<sup>a</sup>, L. V. Kardapol'tsev<sup>a, b</sup>, A. S. Kupich<sup>a, b</sup>, K. A. Martin<sup>a</sup>, K. A. Grevtsov<sup>a, b</sup>,  
 I. K. Surin<sup>a</sup>, K. Yu. Skovpen'<sup>a</sup>, D. A. Shtol'<sup>a</sup>, A. N. Skrinskii<sup>a</sup>, Yu. A. Tikhonov<sup>a, b</sup>,  
 Yu. V. Usov<sup>a</sup>, A. Yu. Barnyakov<sup>a</sup>, D. E. Berkaev<sup>a, b</sup>, D. B. Shvarts<sup>a</sup>,  
 Ya. A. Rogovskii<sup>a, b</sup>, A. S. Kasaev<sup>a</sup>, and A. N. Kirpotin<sup>a</sup>

<sup>a</sup> *Budker Institute of Nuclear Physics, Siberian Division, Russian Academy of Sciences,  
 pr. Akademika Lavrent'eva 11, Novosibirsk, 630090 Russia*

<sup>b</sup> *Novosibirsk State University, ul. Pirogova 2, Novosibirsk, 630090 Russia*

\**e-mail: A.G.Kharlamov@inp.nsk.su*

Received May 30, 2013

In the experiment with the SND detector at the VEPP-2000  $e^+e^-$  collider, the cross section for the  $e^+e^- \rightarrow \pi^+\pi^-\pi^0\pi^0$  process has been measured in the energy range  $\sqrt{s} = 1-2$  GeV with a statistical accuracy of 1–2% and a systematic error of less than 10%. The cross section in the energy range  $\sqrt{s} = 1.4-2$  GeV has been measured for the first time. The  $e^+e^- \rightarrow \omega\pi^0 \rightarrow \pi^+\pi^-\pi^0\pi^0$  channel has been separated when analyzing the structure of the final state.

*Keywords:* VEPP-2000, SND, vector mesons